

ВЛИЯНИЕ ЭФФЕКТА ХОЛЛА НА СЖИМАЕМОСТЬ ПЛАЗМЫ В СИЛЬНОМ ТОРОИДАЛЬНОМ МАГНИТНОМ ПОЛЕ

В. П. Жуков, Г. Фукс*

Институт вычислительных технологий СО РАН, 630090 Новосибирск

* Институт физики плазмы, Юлих, Германия

Исследуется развитие тириинг-неустойчивости при наличии большого тороидального поля и высокой проводимости плазмы. Показано, что изменение плотности плазмы в этом случае может быть значительным.

В данной работе исследуются некоторые аспекты влияния эффекта Холла на процессы пересоединения в цилиндрической (винтовой) геометрии в приближении сильного магнитного поля, направленного вдоль оси цилиндра. Интерес к этой задаче связан с проблемами, возникающими при описании пилообразных колебаний в токамаках. Известно, что простая двумерная модель Кадомцева [1, 2], давая в принципе правильную картину этих колебаний, имеет несоответствия с экспериментальными результатами [3, 4]: время пересоединения оказывается меньше, чем предсказывает [1, 2], и в некоторых экспериментах не наблюдается полного пересоединения. Численное моделирование трехмерных задач в приближении одножидкостной магнитной гидродинамики [5, 6] дает близкие к [1, 2] результаты.

В последнее время делаются попытки объяснить несоответствие теории [1, 2] и эксперимента влиянием эффекта Холла [7–12]. В [7, 8] исследуется влияние градиента электронного давления в обобщенном законе Ома. В [7–12] используется разложение исходных уравнений по параметру $R \ll 1$, равному отношению большого радиуса токамака к малому. Предполагается также, что изменение плотности равно нулю или мало.

В настоящей работе показано, что формальное разложение МГД-уравнений по параметру R позволяет получить уравнения, согласно которым:

1) изменение плотности мало (порядка R^{-1});

2) член, содержащий электронное давление в обобщенном законе Ома, в отличие от [7, 8] исчезает. Это естественно, поскольку, для того чтобы он оказывал влияние на течение, необходимо наличие градиента как давления, так и плотности;

3) в упрощенном уравнении для вектор-потенциала появляется член, содержащий полное давление, не имеющий никакого отношения к ∇p_e в обобщенном законе Ома и связанный с вмороженностью магнитного поля в электронную компоненту плазмы.

Однако оценки и результаты численного моделирования показывают, что, согласно этим уравнениям, изменение плотности мало, если параметр $\alpha R^{-3/2} \nu^{-1/2}$ мал (α — коэффициент Холла, равный отношению ионного дисперсионного размера c/ω_{pi} к малому радиусу токамака, ν — коэффициент магнитной вязкости). Для большинства токамаков параметр $\alpha R^{-3/2} \nu^{-1/2}$ велик. Поэтому изменение плотности может быть значительным и формальное разложение оказывается неприменимым, что связано с наличием тонких токовых слоев.

В данной работе приведена система уравнений, в которой используется разложение по параметру R , но изменение плотности не предполагается малым. Из этих уравнений видно, что корректный учет градиентов плотности, даже если само изменение плотности мало, не является простой задачей. Поэтому разложение по параметру R не имеет существенных преимуществ для численного анализа по сравнению с решением исходных уравнений.

Исходные уравнения. В качестве исходных уравнений возьмем уравнения магнитной гидродинамики, учитывающие эффект Холла [13, 14]. Пренебрежем инерцией электронов, которая для интересующих нас эффектов не существенна. В общепринятых обозначениях система уравнений имеет вид

$$\rho \left(\frac{\partial \mathbf{V}}{\partial t} + (\mathbf{V} \nabla) \mathbf{V} \right) = -\nabla(p_e + p_i) + \mathbf{j} \times \mathbf{H}, \quad \frac{\partial \rho}{\partial t} + \operatorname{div}(\rho \mathbf{V}) = 0, \quad \mathbf{j} = \nabla \times \mathbf{H},$$

$$\mathbf{E} = -\mathbf{V}_e \times \mathbf{H} + \nu \mathbf{j} - \alpha \rho^{-1} \nabla p_e, \quad \mathbf{V}_e = \mathbf{V} - \alpha \rho^{-1} \mathbf{j}, \quad \frac{\partial \mathbf{H}}{\partial t} = -\nabla \times \mathbf{E}.$$

В цилиндрической системе координат (r, φ, z) в случае винтовой симметрии $\partial/\partial z = -R^{-1}\partial/\partial\varphi$ эти уравнения примут вид

$$\rho \left(\frac{\partial V_g}{\partial t} + (\mathbf{V} \nabla) V_g \right) = \operatorname{div}(\mathbf{H} H_g); \quad (1)$$

$$\rho \left(\frac{\partial V_r}{\partial t} + (\mathbf{V} \nabla) V_r - \frac{V_\varphi^2}{r} \right) = -\frac{\partial(p_e + p_i)}{\partial r} + \left(1 + \frac{r^2}{R^2}\right)^{-1} \left(-\frac{\partial H_g^2/2}{\partial r} + j_g \frac{\partial A_g}{\partial r} \right); \quad (2)$$

$$\rho \left(\frac{\partial V_\varphi}{\partial t} + (\mathbf{V} \nabla) V_\varphi + \frac{V_\varphi V_r}{r} \right) = -\frac{1}{r} \frac{\partial(p_e + p_i)}{\partial \varphi} +$$

$$+ \left(1 + \frac{r^2}{R^2}\right)^{-1} \left(-\frac{1}{r} \frac{\partial H_g^2/2}{\partial \varphi} + j_g \frac{1}{r} \frac{\partial A_g}{\partial \varphi} + \frac{r}{R} \operatorname{div}(\mathbf{H} H_g) \right); \quad (3)$$

$$\frac{\partial \rho}{\partial t} + \operatorname{div}(\rho \mathbf{V}) = 0; \quad (4)$$

$$\frac{\partial A_g}{\partial t} + (\mathbf{V}_e \nabla) A_g = -\nu j_g. \quad (5)$$

$$\frac{\partial H_z}{\partial t} + \operatorname{div}(\mathbf{V}_e H_z) = \operatorname{div}(\mathbf{H} V_{ez}) + \nu \Delta_s H_z - \alpha \operatorname{div}(\rho^{-1}(\mathbf{e} \times \nabla) p_e), \quad \mathbf{e} = (0, 0, 1); \quad (6)$$

$$\mathbf{V}_e = \mathbf{V} - \alpha \rho^{-1} \mathbf{j}, \quad H_s = -\frac{\partial A_g}{\partial r}, \quad H_r = \frac{1}{r} \frac{\partial A_g}{\partial \varphi}, \quad j_s = -\frac{\partial H_g}{\partial r},$$

$$j_r = \frac{1}{r} \frac{\partial H_g}{\partial \varphi}, \quad j_g = -\Delta_s A_g + 2 \frac{H_z}{R}. \quad (7)$$

Здесь f_s и f_g — величины, связанные с компонентами вектора \mathbf{f} следующим образом:

$$f_s = f_\varphi - \frac{r}{R} f_z, \quad f_g = f_z + \frac{r}{R} f_\varphi; \quad \Delta_s = \left(1 + \frac{r^2}{R^2}\right) \frac{1}{r^2} \frac{\partial^2}{\partial \varphi^2} + \frac{1}{r} \frac{\partial}{\partial r} \left(r \frac{\partial}{\partial r}\right);$$

$$\operatorname{div}(\mathbf{f}) = \frac{1}{r} \frac{\partial r f_r}{\partial r} + \frac{1}{r} \frac{\partial f_s}{\partial \varphi}; \quad (\mathbf{f} \nabla) f_s = f_r \frac{\partial g}{\partial r} + f_s \frac{\partial g}{\partial \varphi};$$

A_g — g -компоненты вектор-потенциала; H_z и H_g — z - и g -компоненты магнитного поля; \mathbf{V}_e — скорость электронов. Система (1)–(7) приведена в безразмерных переменных [13]. В качестве масштаба длины взят характерный поперечный размер плазмы a (малый радиус

токамака), скорости — скорость Альфвена, вычисленная по тороидальному магнитному полю: $V_A = H_z / \sqrt{4\pi\rho}$, времени — a/V_A , магнитного поля — H_z .

Уравнения (1)–(7) должны быть дополнены уравнениями для электронного p_e и ионного p_i давления, конкретный вид которых будет уточнен ниже.

Начальные и граничные условия. В качестве начальных условий выберем следующие:

$$\rho = 1, \quad H_z = 1, \quad V_z = 0, \quad H_r = 0, \quad H_s = \frac{r}{R} \left(\frac{1 - (1 - r^2)^{q+1}}{qr^2} - 1 \right). \quad (8)$$

Таким образом, имеем ситуацию с нейтральным слоем. Вблизи оси координат $H_s > 0$, а при больших радиусах $H_s < 0$. Положение нейтральной поверхности ($H_s = 0$) зависит от величины q .

Давление плазмы в начальный момент времени полагается таким, чтобы обеспечить равновесие плазмы в магнитном поле. Равновесие нарушалось малым возмущением скорости, конкретный вид которого не играет роли.

Задача решалась в области $0 \leq r \leq 1$, $0 \leq \varphi \leq 2\pi$. Граница $r = 1$ полагается проводящей поверхностью:

$$H_r = 0 \quad (A_g = \text{const}), \quad V_r = 0, \quad p_{e,i} = \text{const}, \quad E_\varphi = V_{er}H_z - V_{ez}H_r - \nu \frac{\partial H_z}{\partial r} - \frac{1}{\rho r} \frac{\partial \tilde{p}_e}{\partial \varphi} = 0.$$

Приближение большого R . Упростим поставленную выше задачу, предполагая $R^{-1} \ll 1$, аналогично тому, как это делается в [1, 2], но в отличие от [1, 2] не будем считать, что изменение плотности мало. При этом имеем следующий масштаб величин:

$$o(1) : H_z, \rho, \nabla \perp, \quad o(R^{-1}) : A_g, V_r, V_\varphi, \frac{\partial}{\partial t}, \quad o(R^{-2}) : H_z - 1, p_{e,i}, j_r, j_z, V_z.$$

В первом приближении получаем модель Кадомцева:

$$\begin{aligned} \rho \left(\frac{\partial \mathbf{V}}{\partial t} + (\mathbf{V} \nabla) \mathbf{V} \right) &= -\nabla(p_e + p_i + H_g) + j_g \nabla A_g, \\ \frac{\partial A_g}{\partial t} + (\mathbf{V} \nabla) A_g &= -\nu j_g, \quad \text{div } \mathbf{V} = 0, \quad \frac{\partial \rho}{\partial t} + \text{div}(\rho \mathbf{V}) = 0. \end{aligned} \quad (9)$$

Если в начальный момент времени $\rho = 1 + O(R^{-1})$, то отклонение ρ от единицы будет порядка $O(R^{-1})$ и во все последующие моменты времени. Тогда для завихренности $\omega = (\mathbf{e} \operatorname{rot} \mathbf{V})$ запишем уравнение

$$\frac{\partial \omega}{\partial t} + (\mathbf{V} \nabla) \omega = \text{div}(\mathbf{H} j_g). \quad (10)$$

Второе приближение позволяет учесть интересующие нас эффекты. Оно имеет вид

$$\rho \left(\frac{\partial \mathbf{V}}{\partial t} + (\mathbf{V} \nabla) \mathbf{V} \right) = -\nabla(p_e + p_i + H_g) + j_g \nabla A_g; \quad (11)$$

$$\frac{\partial A_g}{\partial t} + (\mathbf{V}_e \nabla) A_g = -\nu j_g, \quad j_g = \frac{2}{R} - \Delta A_g; \quad (12)$$

$$\text{div } \mathbf{V} = -\alpha \text{div}(\rho^{-1} \{ \mathbf{e} \times \nabla(p_e + H_g) + \mathbf{H} j_g \}); \quad (13)$$

$$\frac{\partial \rho}{\partial t} + \text{div}(\rho \mathbf{V}) = 0; \quad (14)$$

$$\mathbf{H} = -\mathbf{e} \times \nabla A_g, \quad \mathbf{j} = -\mathbf{e} \times \nabla H_g, \quad \mathbf{V}_e = \mathbf{V} - \alpha \rho^{-1} \mathbf{j}. \quad (15)$$

Здесь под \mathbf{V} , \mathbf{H} и \mathbf{j} понимаются их поперечные (r и s) компоненты; Δ — обычный оператор Лапласа. Заметим, что в этом приближении $V_z = 0$. При $\alpha = 0$ модель (11)–(15) переходит в модель Кадомцева.

Оценим, как меняется плотность согласно уравнениям (11)–(15). Из (13) следует

$$\mathbf{V} = \mathbf{V}_0 - \alpha \rho^{-1} (\mathbf{e} \times \nabla (p_e + H_g) + \mathbf{H} j_g), \quad (16)$$

где \mathbf{V}_0 — вектор, дивергенция которого равна нулю. Величину \mathbf{V}_0 можно найти из совместного решения уравнений (11) и (13).

Подставляя (16) в (14), получим

$$\frac{\partial \rho}{\partial t} + (\mathbf{V}_0 \nabla) \rho = \alpha \operatorname{div} (\mathbf{H} j_g). \quad (17)$$

Представляя ρ в виде $\rho = 1 + \alpha \rho_*$, для ρ_* имеем такое же уравнение, как для завихренности в модели Кадомцева (10). Таким образом, если коэффициент α достаточно мал, то верна формула $\rho \approx 1 + \alpha \omega$. Так как $\omega \sim R^{-1}$, то формально изменение плотности мало. Однако, как известно, течение, возникающее при малых ν , сопровождается образованием токового слоя шириной порядка $\nu^{1/2}$. Плазма втекает в этот слой со скоростью порядка $\nu^{1/2}$ и вытекает вдоль него со скоростью порядка альфвеновской, вычисленной по полоидальному магнитному полю [1, 2]. Таким образом, завихренность $\omega \sim \nu^{-1/2}$.

Легко видеть, что модель Кадомцева обладает следующим свойством: если $\mathbf{V}(t, \mathbf{r})$ и $A_g(t, \mathbf{r})$ — решения (9), (10) при $R = R_*$, $\nu = \nu_*$ и начальных данных (8), то функции $R_* \mathbf{V}(R_* t, \mathbf{r})$, $R_* A_g(R_* t, \mathbf{r})$ будут решениями этих уравнений при $R = 1$, $\nu = \nu_* R_*$. Поэтому для ω имеем скейлинг: $\omega \sim R^{-3/2} \nu^{-1/2}$. Соответственно изменение плотности будет порядка $\alpha R^{-3/2} \nu^{-1/2}$. Данная величина для реальных токамаков очень большая. Например, для типичных параметров установки TEXTOR ($\alpha \approx 0,05$, $R \approx 3,8$, кулоновское значение $\nu \sim 10^{-8}$) она равна 60.

Приближение малого изменения плотности. Выясним более точно, при каких параметрах изменение плотности будет существенным. Для этого предположим, что значение α достаточно мало; поэтому $\rho - 1 \sim R^{-1}$, $\operatorname{div} \mathbf{V} \sim R^{-2}$. По существу, это будет формальное разложение уравнений (1)–(7) с начальными условиями (8) по параметру R .

Уравнение (13) в данном случае примет вид

$$\operatorname{div} \mathbf{V} = -\alpha \operatorname{div} (\mathbf{H} j_g). \quad (18)$$

Таким образом, эффекты, связанные с градиентом электронного давления в законе Ома, пропадают. Напомним, что (13) получено из уравнения (6), которое содержит ∇p_e .

С учетом (18) с необходимой по R^{-1} точностью из (11) получим ($\omega = (\mathbf{e} \operatorname{rot} \mathbf{V})$)

$$\begin{aligned} \frac{\partial \omega}{\partial t} + (\mathbf{V} \nabla) \omega &= (1 + \alpha \omega) \operatorname{div} \frac{\mathbf{H} j_g}{\rho} - \operatorname{div} \frac{\operatorname{rot} (P \mathbf{e})}{\rho}, \\ \mathbf{V} &= -(\mathbf{e} \times \nabla \psi_\omega) - \alpha \mathbf{H} j_g, \quad \Delta \psi_\omega = -\omega + \alpha \operatorname{div} (j_g \nabla A_g). \end{aligned} \quad (19)$$

Величину $P = p_e + p_i + H_g$ можно вычислить с достаточной точностью, взяв дивергенцию от (11) и положив $\rho = 1$ и $\operatorname{div} V = 0$:

$$\Delta P = \operatorname{div} (j_g \nabla A_g) - \frac{\partial V_k}{\partial x_l} \frac{\partial V_l}{\partial x_k}. \quad (20)$$

Для плотности запишем

$$\frac{\partial \rho}{\partial t} - (\mathbf{e} \times \nabla \psi_\omega) \nabla \rho = \alpha \operatorname{div} (\mathbf{H} j_g). \quad (21)$$

Для выражения $(\mathbf{V}_e \nabla) A_g$ в (12) с учетом (15) и того, что $(\mathbf{H} \nabla) A_g = 0$, имеем

$$\begin{aligned} (\mathbf{V}_e \nabla) A_g &= (-(\mathbf{e} \times \nabla \psi_\omega) - \alpha \rho^{-1} \mathbf{j}) \nabla A_g \approx \\ &\approx (-(\mathbf{e} \times \nabla \psi_\omega) + \alpha(\mathbf{e} \times \nabla H_g)) \nabla A_g = -(\mathbf{e} \times \nabla \{\psi_\omega - \alpha P + \alpha(p_e + p_i)\}) \nabla A_g. \end{aligned}$$

Для функции $\psi_a = \psi_\omega - \alpha P$ из (19) и (20) следует

$$\Delta \psi_a = -\omega + \alpha \frac{\partial V_k}{\partial x_i} \frac{\partial V_l}{\partial x_k}. \quad (22)$$

Таким образом, для A_g получим

$$\frac{\partial A_g}{\partial t} - (\mathbf{e} \times \nabla \psi_a + \alpha \mathbf{e} \times \nabla (p_e + p_i)) \nabla A_g = -\nu j_g. \quad (23)$$

Подчеркнем, что член, содержащий полное давление в (23), никакого отношения к p_e в обобщенном законе Ома не имеет. Он появляется благодаря вмороженности магнитного поля в электронную компоненту плазмы, т. е. благодаря выражению $\alpha \rho^{-1} \mathbf{j} \times \mathbf{H}$ в обобщенном законе Ома. Причина появления обсуждаемого слагаемого состоит в том, что приближение большого тороидального поля позволяет выразить полоидальный ток через давление плазмы.

Ниже для простоты будем полагать, что в силу большой температуропроводности вдоль магнитного поля температуры T_e и T_i постоянны вдоль поля, т. е. $T_{e,i} = T_{e,i}(A_g, t)$. В случае токамаков T_e вдоль поля постоянна с большой точностью. Для ионов это, вообще говоря, не так, хотя ионная теплопроводность вдоль магнитного поля велика. Тогда в (23) член $(\mathbf{e} \times \nabla p_{i,e}) \nabla A_g = T_{i,e}(\mathbf{e} \times \nabla \rho) \nabla A_g + \rho(\mathbf{e} \times \nabla T_{i,e}) \nabla A_g = T_{i,e}(\mathbf{e} \times \nabla \rho) \nabla A_g \sim R^{-4}$, и им можно пренебречь. Подчеркнем, что корректный учет $\nabla \rho$ здесь требует учета $\nabla \rho$ и в уравнении (13). Это означает, что в данном случае надо использовать систему (11)–(15) и уравнение для A_g оказывается весьма не простым (см. приложение).

В итоге получим замкнутую систему уравнений (19)–(23), которая не требует знания конкретного распределения температуры.

Уравнения (19)–(23) обладают следующим свойством: если $\rho(t, \mathbf{r})$, $\mathbf{V}(t, \mathbf{r})$ и $A_g(t, \mathbf{r})$ — решения (19)–(23) при $R = R_*$, $\alpha = \alpha_*$, $\nu = \nu_*$ и начальных данных (8), то функции $\rho(R_* t, \mathbf{r})$, $R_* \mathbf{V}(R_* t, \mathbf{r})$, $R_* A_g(R_* t, \mathbf{r})$ будут решениями этих уравнений при $R = 1$, $\alpha = \alpha_*/R_*$, $\nu = \nu_* R_*$, что позволяет ограничиться изучением случая $R = 1$.

Система уравнений (19)–(23) решалась численно. Расчеты показывают, что при не очень больших α с большой точностью выполняется формула $\rho \approx 1 + \alpha \omega$. В процессе пересоединения ω растет, достигая максимума в момент полного пересоединения, а затем уменьшается до нуля. Типичное распределение ω показано на рис. 1. Картина перезамкнувшихся силовых линий магнитного поля приведена на рис. 2. Асимметрия в распределении ω связана с наличием холловских членов: она тем больше, чем больше коэффициент α .

В целом картина пересоединения при $\alpha \neq 0$ мало отличается от модели Кадомцева, поскольку выбираем малые значения α , чтобы система (19)–(23) была применима. Однако эти расчеты позволяют составить представление об изменении плотности в зависимости от ν и α . Приведем оценки для токамака TEXTOR. Для этой установки $\alpha = 0,05$, $R = 3,8$, $\nu = 10^{-8}$. Расчеты показывают, что уже при $\nu = 2,5 \cdot 10^{-6} \gg 10^{-8}$ максимальное по времени и пространству отличие ρ от единицы достигает 20 %. Значение ω , а следовательно, и отличие ρ от единицы увеличиваются с уменьшением ν . Таким образом, роль обсуждаемых эффектов при параметрах реальной установки может только увеличиться.

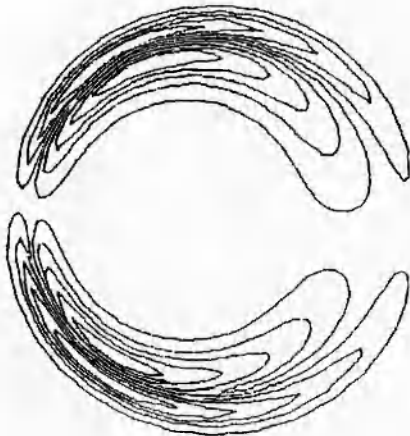


Рис. 1



Рис. 2

Приложение

В настоящей работе показано, что при типичных для токамаков параметрах плазмы изменение плотности при развитии тиринг-моды может быть большим. Область наибольшего изменения сосредоточена в узкой окрестности нейтрального слоя. Поэтому градиенты плотности велики, что может существенным образом изменить картину течения. Корректный учет $\nabla\rho$ предполагает использование уравнений (11)–(15).

Покажем, как будет выглядеть уравнение для вектор-потенциала системы (11)–(15). Введем завихренность $\omega = (\mathbf{e} \otimes \mathbf{V})$ и функцию ψ : $\mathbf{V}_0 = -(\mathbf{e} \times \nabla\psi)$ (см. (16)). Для ψ имеем

$$\Delta\psi = -\omega + \alpha \operatorname{div} \frac{j_g \nabla A_g - \nabla(p_e + H_g)}{\rho}. \quad (24)$$

Взяв дивергенцию от (11), получим

$$\operatorname{div} \frac{j_g \nabla A_g - \nabla(p_e + H_g)}{\rho} = \operatorname{div} \frac{\nabla p_i}{\rho} + \frac{d}{dt} \operatorname{div} \mathbf{V} + \frac{\partial V_k}{\partial x_l} \frac{\partial V_l}{\partial x_k}. \quad (25)$$

Здесь $d/dt = \partial/\partial t + (\mathbf{V}\nabla)$. Так как $\operatorname{div} \mathbf{V} = -\rho^{-1}(d\rho/dt)$, то $d(\operatorname{div} \mathbf{V})/dt = -d^2(\ln \rho)/dt^2$. Подставляя последнее в выражение $(\mathbf{V}_e \nabla) \nabla A_g = (\mathbf{V} + \alpha \rho^{-1}(\mathbf{e} \times \nabla H_g)) \nabla A_g$, учитывая $(\mathbf{H}\nabla) \nabla A_g = 0$ и (16), (24), (25), запишем

$$\frac{\partial A_g}{\partial t} + (\mathbf{V}_a \nabla) A_g = -\nu j_g,$$

где

$$\mathbf{V}_a = (\mathbf{e} \times \nabla \Delta^{-1} \omega) - \alpha \rho^{-1} (\mathbf{e} \times \nabla p_e) - \alpha \left(\mathbf{e} \times \nabla \Delta^{-1} \left(\operatorname{div} \frac{\nabla p_i}{\rho} \right) \right) - \alpha \left(\mathbf{e} \times \nabla \Delta^{-1} \left(\frac{\partial V_k}{\partial x_l} \frac{\partial V_l}{\partial x_k} - \frac{d^2(\ln \rho)}{dt^2} \right) \right);$$

Δ^{-1} — обратный оператор Лапласа. Как видно, учет градиента плотности не является простым.

Отметим, что отличия реальной тороидальной геометрии от винтовой, использованной в данной работе, также проявляются во втором порядке разложения по R . На характер пилообразных колебаний могут влиять и такие факторы, как электронная инерция [10], продольная электронная вязкость [12] и т. п. Однако вывод о возможности существенного изменения плотности в процессе развития неустойчивости срыва в плазме токамаков остается в силе и в этих случаях. Он следует из того, что $\operatorname{div} \mathbf{V}$ оказывается порядка $\alpha \mathbf{H} \nabla j_z$.

В случае большой проводимости значение j_z велико, поэтому плазму нельзя считать несжимаемой. Выражение для $\operatorname{div} \mathbf{V}$ можно получить из уравнения для H_z (необязательно в случае винтовой геометрии) в предположении малости $\partial H_z / \partial t$ по сравнению с другими членами данного уравнения. Это верно, если характерное время процесса намного больше альфвеновского времени a/V_A , что соответствует реальности. Предположение $R^{-1} \ll 1$ необязательно.

Авторы выражают благодарность Г. И. Дудниковой и С. В. Буланову за полезные обсуждения.

Работа выполнена при частичной поддержке Российского фонда фундаментальных исследований (код проекта 96-01-01572), Фонда INTAS (N 93-2836) и Германского исследовательского общества (DFG).

ЛИТЕРАТУРА

1. Кадомцев Б. Б., Погуце О. П. Нелинейные винтовые возмущения плазмы в токамаке // ЖЭТФ. 1973. Т. 65, вып. 2(8). С. 575–589.
2. Кадомцев Б. Б. О неустойчивости срыва в токамаках // Физика плазмы. 1975. Т. 1, вып. 5. С. 710–715.
3. Soltwisch H., Stodiek W., Maniskam J., Schluter J. Current density profiles in the TEXTOR tokamak // Plasma Physics and Controlled Nuc. Fus. Res. 1986. Proc. Intern. Conf., Kyoto, 1986. VI. P. 263–273.
4. Soltwisch H. Current density measurements in tokamak devices // Plasma Phys. and Contr. Fusion. 1992. V. 34, N 12. P. 1669–1698.
5. Baty H., Luciani J.-F., Bussas M.-N. Transition from a resistive kink mode to Kadomtsev reconnection // Nucl. Fusion. 1991. V. 31, N 11. P. 2055–2062.
6. Ademir A. J., Wiley J. C., Ross D. W. Toroidal studies of sawtooth oscillations in tokamaks // Phys. Fluids B. 1989. V. 1(4). P. 774–787.
7. Kleva R. G., Drake J. F., Waelbroeck F. L. Fast reconnection in high temperature plasmas // Phys. Plasmas. 1995. V. 2(1). P. 23–34.
8. Xiogang Wang, Bhattacharjee A. Nonlinear dynamics of the $m = 1$ kink-tearing instability in a modified magnetohydrodynamic model // Phys. Plasmas. 1995. V. 2(1). P. 171–181.
9. Zakharov L., Roger B. Two-fluid MHG description of the internal kink mode in tokamaks // Phys. Fluids B. 1992. V. 4(10). P. 3285–3301.
10. Kleva R. G., Drake J. F., Denton R. E. The fast crash of the central temperature during sawteeth in tokamaks // Phys. Fluids. 1987. V. 30(7). P. 2119–2128.
11. Ademir A. Y. Nonlinear studies of $m = 1$ modes in high-temperature plasmas // Phys. Fluids B. 1992. V. 4(1). P. 3469–3472.
12. Qingquan Y. U. A new theoretical model for fast sawtooth collapse // Nucl. Fusion. 1995. V. 35, N 8. P. 1012–1014.
13. Березин Ю. А., Федорук М. П. Математическое моделирование нестационарных плазменных процессов. Новосибирск: Наука, 1993.
14. Березин Ю. А., Дудникова Г. И. Численные модели плазмы и процессы пересоединения. М.: Наука, 1985.